

## COMPRESSION D'UN TRONC DE CONE

Soit un repère cartésien orthonormé  $R_F = (O_0, \vec{x}_1, \vec{x}_2, \vec{x}_3)$  où  $x = (x_i)_i = 1, 2, 3$  est la position d'un point M. On considère un tronc de cône  $\Omega$  d'axe  $\vec{x}_3$  et de section droite circulaire  $\Sigma$ . Sa surface latérale est appelée  $\Sigma_2$ . Il est limité en hauteur par  $\Sigma_0$  située à  $x_3 = 0$  et par  $\Sigma_1$  située à  $x_3 = h$ . On note O est le centre d'inertie de  $\Sigma$  (située à l'abscisse  $x_3$ ) et R son rayon. Les points  $O_0$  et  $O_1$  sont les centres d'inertie des sections  $\Sigma_0$  et  $\Sigma_1$  dont  $R_0$  et  $R_1$  sont respectivement les rayons. L'angle au sommet du tronc de cône est noté  $\alpha$ . On rappelle que :

$$\operatorname{tg} \alpha = \frac{R_1 - R_0}{h} = \frac{R - R_0}{x_3}$$

En tout point M de  $\Sigma$ , on définit le repère local en coordonnées cylindriques  $(r, \varphi, x_3)$  par :

$$R_c = (O_0, \vec{i}, \vec{j}, \vec{x}_3) \text{ avec } r = \sqrt{\overline{OM}} = \sqrt{x_1^2 + x_2^2} \text{ et } \begin{cases} \vec{i} = \cos \varphi \vec{x}_1 + \sin \varphi \vec{x}_2 \\ \vec{j} = -\sin \varphi \vec{x}_1 + \cos \varphi \vec{x}_2 \end{cases}$$

On suppose que le domaine est constitué d'un matériau élastique linéaire homogène isotrope dont E et v sont respectivement le module d'Young et le coefficient de Poisson, ( $\lambda, \mu$ ) les coefficients de Lamé et  $\rho$  la masse volumique.

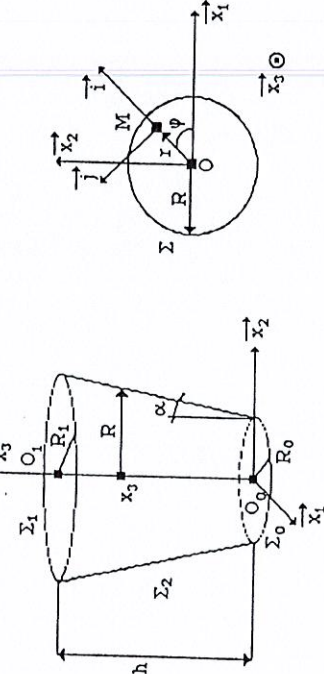
On se place dans le cadre de l'hypothèse des petites perturbations. On suppose que le domaine est en équilibre quasi-statique sous les conditions suivantes :

- les forces de volume sont négligées;
- sur  $\Sigma_0$ , une densité d'effort connue  $\vec{F}_0 = F_0 \vec{x}_3$  est appliquée;
- sur  $\Sigma_1$ , une densité d'effort connue  $\vec{F}_1 = -F_1 \vec{x}_3$  est appliquée;
- $\Sigma_2$  est libre d'effort.

1. Trouver, en fonction des caractéristiques géométriques du domaine, la relation qui doit exister entre  $F_0$  et  $F_1$  pour que le système soit effectivement en équilibre global.
2. Écrire, en coordonnées cylindriques, les équations à résoudre (projétées dans le repère local  $R_c$ ) si l'on souhaite déterminer en tout point du domaine le champ des contraintes et le champ des déplacements.
3. Le problème ainsi posé rentre-t-il dans le cadre des problèmes généraux d'élasticité ? Discuter l'existence et l'unicité des solutions en contraintes et déplacements.
4. Indiquer pourquoi les solutions du problème doivent être indépendantes de la variable  $\varphi$ .
5. On suppose que la solution en terme de contrainte à la forme suivante :

$$\sigma(r, x_3) = \begin{cases} A(x_3) B(r) & \sigma_{rr}(r, x_3) = 0 \\ \sigma_{\varphi\varphi}(r, x_3) = 0 & \sigma_{3\varphi}(r, x_3) = 0 \\ \sigma_{33}(r, x_3) = \Phi(x_3) \psi(r) & \sigma_{33}(r, x_3) = 0 \end{cases}$$

- 5.1. Utiliser l'équation d'équilibre local afin de trouver la forme des fonctions  $\Phi, \Psi, A$  et  $B$  (on prendra en compte également le fait que si  $r \rightarrow 0$  alors les composantes du tenseur des contraintes ne doivent pas être infinies).
- 5.2. Utiliser les conditions aux limites sur  $\Sigma_2$  pour déterminer les constantes mises en évidence dans la question précédente.
- 5.3. Les conditions aux limites sur  $\Sigma_0$  et  $\Sigma_1$  sont-elles vérifiées ? Conclusion ?
6. Calculer, sur chacune des faces du domaine, le torseur résultant de la densité d'effort induite par le champ de contraintes intuité.
7. Calculer, sur chacune des faces du domaine, le torseur résultant de la densité d'effort du problème réel.
8. Que peut-on dire du champ de contrainte solution du problème réel par rapport au champ de contrainte intuité ?



• Composantes du tenseur des contraintes et des déformations dans le repère cylindrique

$$\sigma = \begin{pmatrix} \sigma_{rr} & \sigma_{r\varphi} & \sigma_{rz} \\ \sigma_{r\varphi} & \sigma_{\varphi\varphi} & \sigma_{\varphi z} \\ \sigma_{rz} & \sigma_{\varphi z} & \sigma_{zz} \end{pmatrix} \quad \varepsilon = \begin{pmatrix} \varepsilon_{rr} & \varepsilon_{r\varphi} & \varepsilon_{rz} \\ \varepsilon_{r\varphi} & \varepsilon_{\varphi\varphi} & \varepsilon_{\varphi z} \\ \varepsilon_{rz} & \varepsilon_{\varphi z} & \varepsilon_{zz} \end{pmatrix}$$

$$\text{avec } \varepsilon_{rr} = \frac{\partial u_r}{\partial r}, \quad \varepsilon_{r\varphi} = \frac{1}{2} \left( \frac{\partial u_\varphi}{\partial r} - \frac{u_\varphi}{r} + \frac{1}{r} \frac{\partial u_z}{\partial \varphi} \right), \quad \varepsilon_{rz} = \frac{1}{2} \left( \frac{\partial u_r}{\partial z} + \frac{\partial u_z}{\partial r} \right)$$

$$\varepsilon_{\varphi\varphi} = \frac{1}{r} \frac{\partial u_\varphi}{\partial \varphi} + \frac{u_r}{r}, \quad \varepsilon_{\varphi z} = \frac{1}{2} \left( \frac{1}{r} \frac{\partial u_z}{\partial \varphi} + \frac{\partial u_\varphi}{\partial z} \right), \quad \varepsilon_{zz} = \frac{\partial u_z}{\partial z}$$

• Divergence d'un tenseur symétrique d'ordre deux dans le repère cylindrique

$$\overrightarrow{\operatorname{div}} \sigma = \begin{pmatrix} \frac{\partial \sigma_{rr}}{\partial r} + \frac{1}{r} \frac{\partial \sigma_{r\varphi}}{\partial \varphi} + \frac{\partial \sigma_{rz}}{\partial z} + \frac{\sigma_{rr} - \sigma_{\varphi\varphi}}{r} \\ \frac{\partial \sigma_{r\varphi}}{\partial r} + \frac{1}{r} \frac{\partial \sigma_{\varphi\varphi}}{\partial \varphi} + \frac{\partial \sigma_{\varphi z}}{\partial z} + 2\sigma_{\varphi\varphi} \\ \frac{\partial \sigma_{rz}}{\partial r} + \frac{1}{r} \frac{\partial \sigma_{\varphi z}}{\partial \varphi} + \frac{\partial \sigma_{zz}}{\partial z} + \frac{\sigma_{rz}}{r} \end{pmatrix}$$

• Loi de Hooke

$$\vec{\varepsilon}(\vec{u}) = \frac{1+v}{E} \sigma - \frac{v}{E} \operatorname{tr}(\sigma) I \Leftrightarrow \sigma = \lambda \operatorname{tr}(\vec{\varepsilon}(\vec{u})) I + 2u \vec{\varepsilon}(\vec{u})$$

FORMULAIRES